

# DOĞU ROMA (BİZANS) BÜYÜK İMPARATORLUK SARAYININ JEOFİZİK YÖNTEMLERLE ARANMASI

## Archaeogeophysical Prospectings For Great Empire Palace Of Eastern Roman (Byzantine) Empire

Ahmet ERCAN<sup>1,2</sup> ve Özer KENAR<sup>3</sup>

### ÖZET

Sultanahmet semti Doğu Roma'dan (Bizans) Osmanlı'ya dek tarihsel dönemlerin birbiri üstüne binmiş uygarlık kalıntıları ile kaplıdır. Çalışmanın konusu olan Doğu Roma Büyük İmparatorluk Sarayı'nın (BİS) üzerinde, bugün Sultanahmet Camisi güneyi, Arasta Çarşısı, Arasta, Şifa hamamları ve Sokullu Sarayı'nın kalıntıları yer alır.

Çalışma alanı içinde Osmanlı ve Doğu Roma döneminden kalma gömülü kalıntıları aramak üzere, elektrik, sismik ve polarizasyon yöntemlerinde oluşan jeofizik araştırmalar yapılmıştır. Arazinin tabanında Paleozoik yaşılı grovaklar ve bozmuş kesimi, onun üzerinde geçmiş uygarlık molozları ve arkeolojik kalıntılar ve örtü bitkisel toprak yer alır. Tarihsel moloz ya da arkeolojik kalıntı üzerinde, özdirenç değerleri ve sismik hız yüksek, dalga geliş zamanı erken, polarizasyon açıları  $90^\circ$  ulaşmaktadır. Ancak, arkeolojik kalıntı üzerinde yukarıdaki parametrelerin genliği büyüğü gibi anomalileri de keskinleşmektedir. Bu görüşüleri ile molozdan ayrılmaktadır. Sismik yöntemle  $x = 3$  m'lik açılım için  $t_p$  geliş süresi ortalama 6.5 milisaniye iken, arkeolojik kalıntı-

### ABSTRACT

Sultanahmet region of İstanbul – Turkey, is surrounded with remainings of many civilizations from Eastern Roman (Byzantine) to Ottoman periods. Southern part of Sultanahmet Mosque, Arasta Bazaar, Turkish baths and ruins of Sokullu Palace take palace on the land where Byzantine Palace had situated in the past.

Combined geophysical technics such as D.C. electric, seismic and self potential were run with different combinations. Overburden layer consists of artificial fills of remanent of old civilizations and top soil over the Paleozoic aged graywayk known as Thrace formation.

There were observed higher resistivity and seismic velocity and sooner travel time and  $90^\circ$  polarization anomalies while crossing such archeological discontinuties. Anomalies are relatively distinct and sharp and have higher amplitudes on the hidden structures but are smoother over the artificial fill. Therefore, they can be distinguished whether it is important or not. Two way travel time happen to take average value of 6.5 milliseconds which reduces

1 Yeraltı Aramacılık, Spor Cd. Açısu Sk. No. 9/2 Maçka 80680 Beşiktaş, İstanbul.

Tel: 0212/227 77 19 – 20 Faks: 0212/ 259 45 80

2 İTÜ Maden Fakültesi, Jeofizik Mühendisliği Bölümü, Ayazağa, İstanbul.

3 Karadeniz Teknik Üniversitesi, Trabzon.

lar üzerinde 5.5 milisaniyeden erken, dolgu toprak üzerinde 6.5 milisaniyeden geçtir. Sismik ölçülerden dolgu kalınlığı batıda 2, doğuda 8 metre bulunmuş olup, tabanda grovakların yüzeye şimi  $5^{\circ}$  ile doğuya doğru eğimlidir.

Birleşik yorum, BİS'e giden giriş tunelinin çalışma sahası içinde olduğunu göstermiştir. Giriş tuneli merdivenlerinin bulunduğu yerden kuzeye doğru uzanan jeofizik süreksızlığın tarihsel moloz yığını olduğu sanılmaktadır. Moloz, farklı zamanlarda örtülü katmanlar ya da öbek öbek yığıntılar biçiminde arazinin çeşitli yerlerinde dağılmış olarak bulunur. Bunların dışında çalışma alanında başkaca arkeojeofizik işaretle karşılaşılmıştır.

to the level of 5.5 and increases up more than 6.5 milliseconds over the hidden walls and fills, respectively.

It was found that paleotopographic slope inclined  $5^{\circ}$  to the east and has a depth of 2 meters at Western and 8 meters at Eastern sides of the study area. Combined interpretation indicate that entrance to the tunnel which goes into the Byzantine palace is beneath the study area. Geophysical discontinuity, aligning between the stairway to the north was considered to be consisting with artificial fill. Such fills could be remanents of different periods which were piled in dome or sink – fill forms, mostly in eastern part. There does not exist any other archeological remnants in the field.

## GİRİŞ

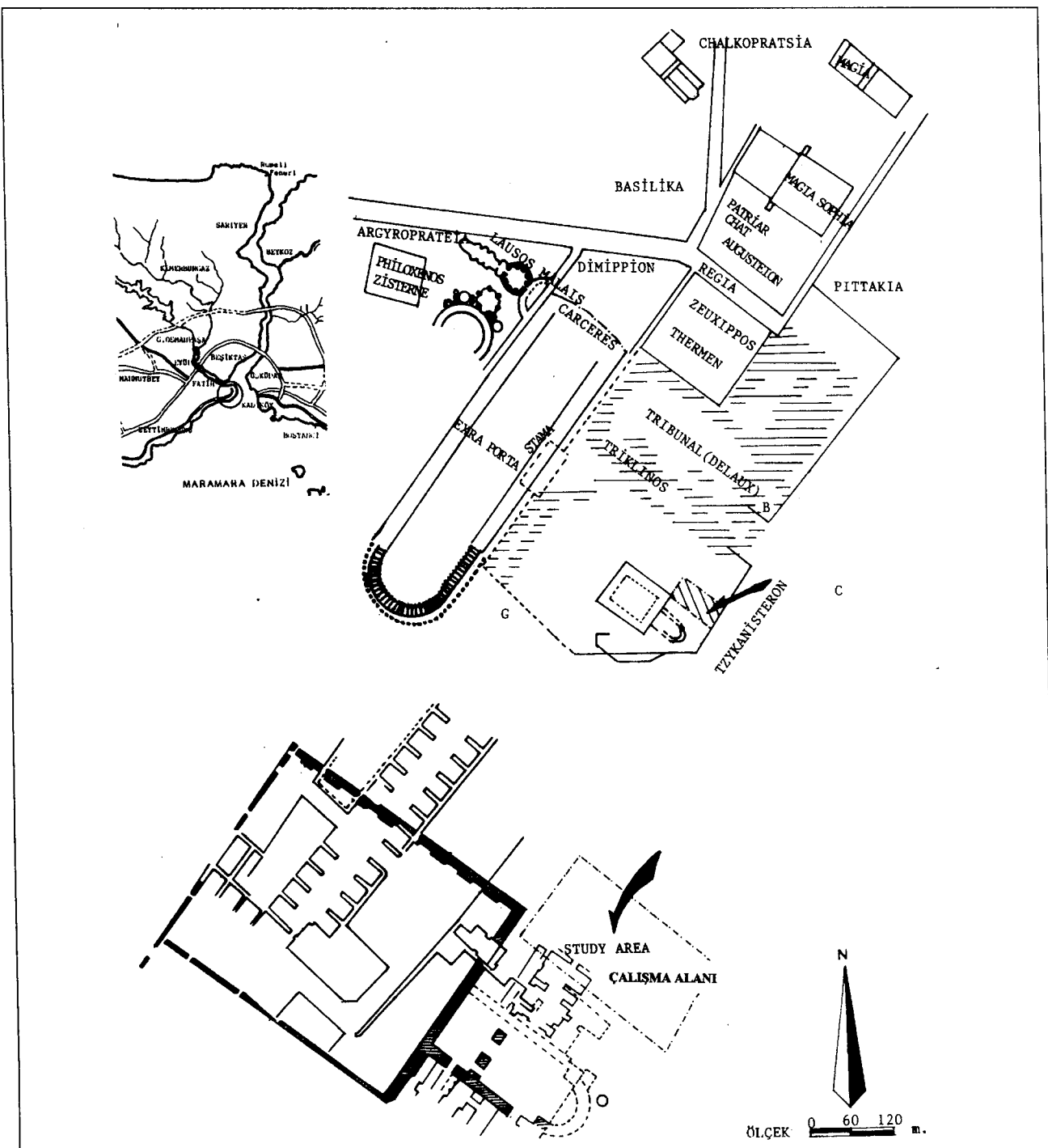
**Amaç ve Konum:** Osmanlı döneminde Sokullu Mehmet Paşa Sarayı arazisi altında Doğu Roma İmparatorluğu'ndan kalma Büyük İmparatorluk Sarayı (BİS) ve Külliyesinin aranması arkeo-jeofizik çalışmanın konusudur. İstanbul ili, Eminönü İlçesi, Sultanahmet Mahallesi'ndeki çalışma alanının kuzeybatısında Toprak (Yeni Torun Sokak) Mozaik Müzesi ve Sultanahmet Camisi, güney batısında Tunuslu Mahmut Paşa Konağı (Orman İdaresi) güney ve güneydoğusunda Akbıyık Caddesi ve Kabasakal Sinanaga Mahallesi (Cankurtaran) kuzeydoğusunda Sokullu Mehmet Paşa Sarayı arsa uzantısı yer alır (Şekil 1 ve 2). Sokullu Mehmet Paşa Sarayı'nın mahkeme tutanaklarına göre, sarayın çevresi duvarlarla çevrilidir. Sarayın altında cephanelik, dört büyük özel bölük ahırı ve yaklaşık binbeş yüz arabalık ot alabilen ahır bodrumu ve bir büyük mahzen, karşılıklı iki has ahırı içinde bir kuyu yer almaktadır.

### Doğu Roma İmparatorluğu Dönemi

Bizans döneminde bugünkü Sultanahmet'in çevresi söyledir. Bugünkü Dikilitaş ve Alman Çeşmesinin olduğu yerde, At Koşu Alanı (Hipodrom), kuzeydoğuda (Hagia Sophia) ve Yerebatan (Basilika) ve güneyde BİS

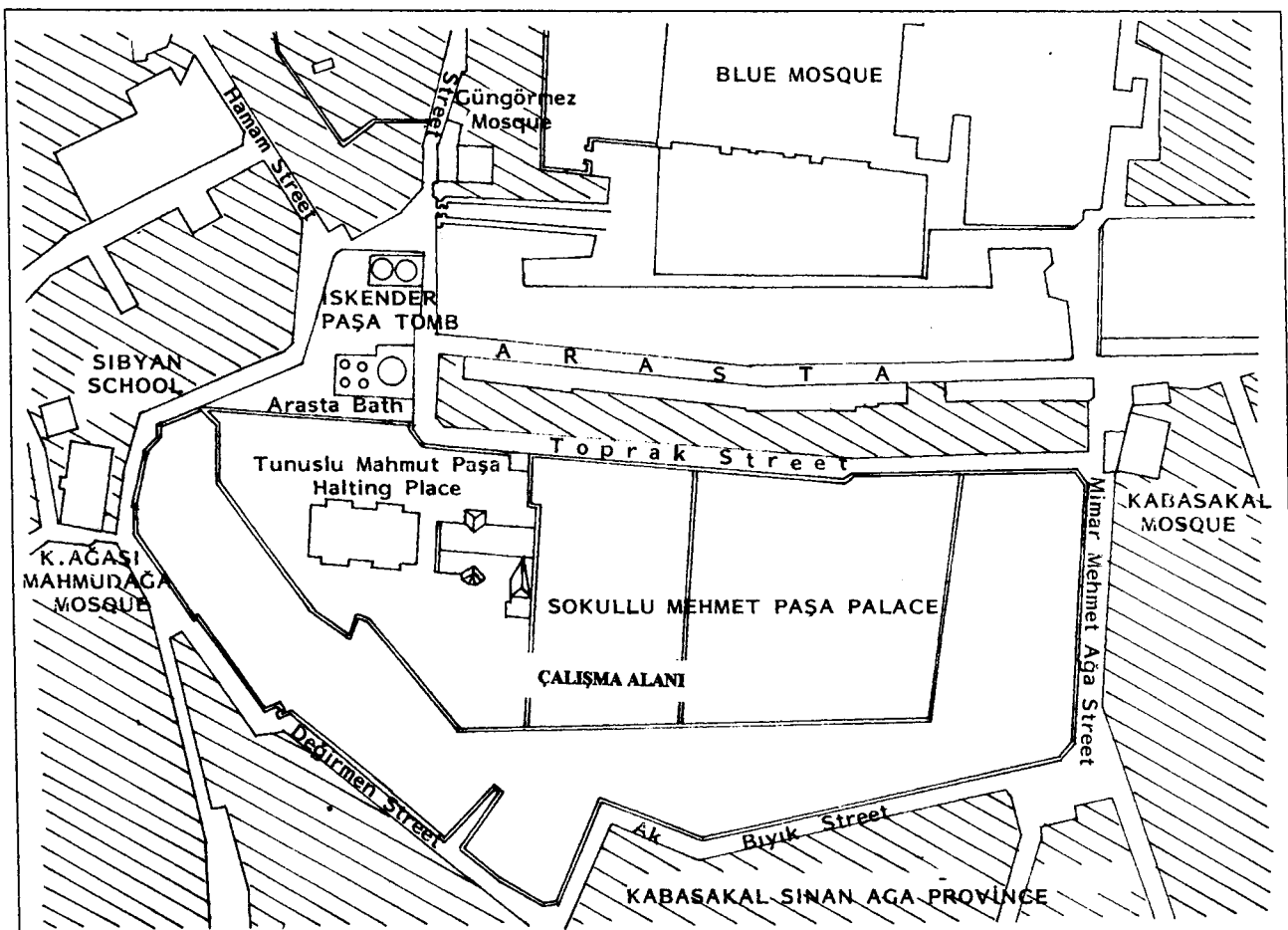
yer alır (Şekil 1 ve 2). Bugünkü Şifa Hamamı ve Arasta Hamamı ve Arasta Çarşısı ile güneydeki Tunuslu Mahmutpaşa Konağı tam BİS üzerinde yer almaktadır (Şekil 1 ve 2). Sarayın 4 ile 5. yüzyıllar arası yapıldığı sanılmaktadır (Brett et al. 1947a, b; Rice 1958; Müller 1977; Eyice 1988 ve 1997 ve Jobst 1997). Kuzeydeki Mozayik Müzesi BİS'in bir parçasıdır. Sarayın oval güneydoğu çıkıntısı bugünkü Orman Bakanlığı arkası altında bulunmaktadır. Oval çıkışının kuzeydoğusunda sürekli çizgi ile çizilen girintili çıkışlı dehlizler çalışma alanı altına kadar sokulur. Belkide kuzeydoğuya doğru devam eder. İşte bu devamlılığı araştırmak üzere arsada jeofizik çalışmalar yapılmıştır.

**Bugünkü Durum:** Sokullu Sarayının olduğu yerde, geçmiş saraydan salt birkaç kalıntı vardır. Bunlar; Toprak Sokağa açılan sarayın giriş kapısı Toprak Sokak boyunca yıpranmış, yer yer yıkılmış çevre duvarları, arsa ortasında yaklaşık  $4 \times 4 \times 3$  metre boyutunda eski ve içine merdivenle inilen olasılıkla Osmanlı döneminden kalma boş bir oda, bu odanın 10 metre güneydoğusunda merdivenle inilen BİS'na giden dehliz girişi, güneyde dehlizlerin hava bacaları ve yıkılmış bir binanın temelleri. Güneyde, BİS dehlizleri ve kalıntıları üzerine inşaatına başlayan ve yarı kalan Orman Bakanlığı yapısı; doğuda, Cankurtaran'a bakan kalın destek duvarı yer alır.



**Şekil 1.** İstanbul, Eminönü yarımadası üzerinde, boğaz girişine bakan çalışma alanı konumu (Daire içindeki alan) (sol üst), Bizans döneminde Sultanahmet ve dolayı. Güneyde Bizans Sarayı ve çalışma alanı. Ok çalışma alanını gösterir (sağ üst). Bizans Sarayı (taralı çerçeve), onun üzerine oturmuş olan Osmanlı Eserleri (sürekli çizgiler) ve çalışma alanı (kesikli çizgiler).

**Figure 1.** Constantinopolis (İstanbul), Eminönü peninsula and antique settlement of Byzantine period in Sultanahmet region and plan view of Sultanahmet square during the Byzantine period. Byzantine Palace and investigation site located on the south. Arrow indicates the study area. Byzantine Palace (shaded area) and superposition on Ottoman buildings (with continuous lines) and study area (with dashes).



Şekil 2. Sultanahmet Meydanı'nda Sokullu Mehmet Paşa Sarayı'nın arazisini gösteren Vaziyet Planı.

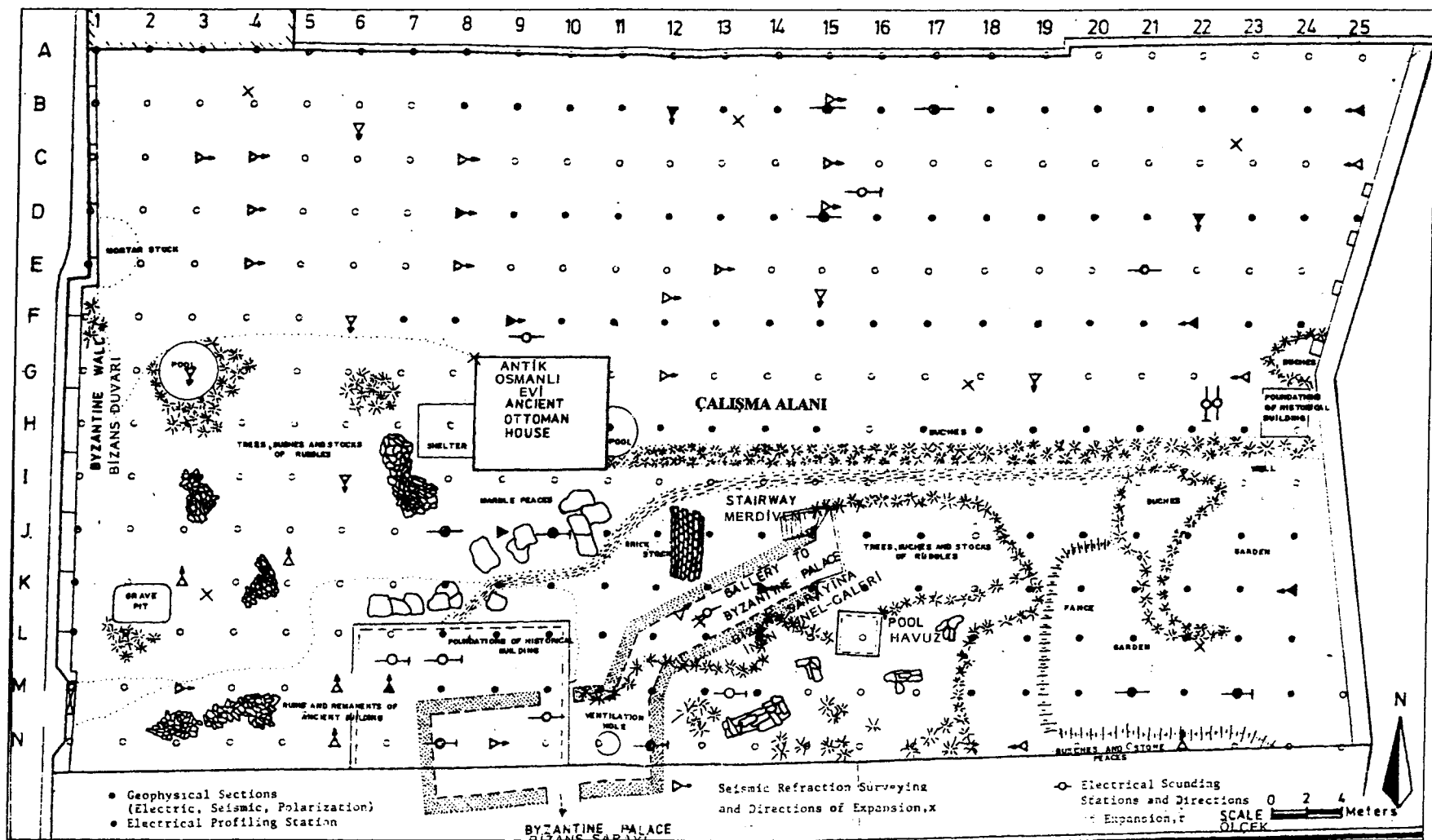
Figure 2. Sultanahmet square, plan showing the site belonging to Sokollu Mehmet Paşa Palace.

Bunun dışında arsada inşaat artığı molozlar, eski mermer, tuğla, harç ve taş parçaları, tuğla ve taş yığınları yer alır. Boş olan kesimde, incir, nar, gibi meyve ağaçları ve bir köşesinde sebze bahçesi, gür ve çalılıklar yer alır (Şekil 3). Bizans Mahzenine 1.80 m genişliğinde 9 basamaklı batıdan doğuya açılan ve güneye dönen bir merdivenle inilir.  $3.2 \times 1.8$  m genişliğindeki boşluk batıya doğru eğimli ve  $2.25$  m genişliğinde  $11.75$  metre boyunda bir galeri ile sürer ve  $2$  m boyunda güneybatıya bir dirsek vererek geniş bir odaya açılır. Odanın giriş ağzı  $2.10$  metre doğu-batı uzanımlı boyutu  $4.5 \times 12.4$  metre ( $56 \text{ m}^2$ )'dır. Bu odanın üzerinde K noktasında ve giriş galerisindeki E noktasında havalandırma bacaları yer alır. Odanın hem kuzey ve hem de güney duvarlarında kemerli  $1.90$  m genişlikli mahzen girişleri yer alır. Kuzeydeki giriş toprakla örtülüdür.

**Arazinin Bugünkü Yüzey Yükseltisi:** Arsanın denizden ortalama yüksekliği  $26 \pm 2$  m'dir. Batıdan doğuya (% 1 – % 7) yüzde eğim, ( $0.5$  ile  $4^\circ$ ) açısal eğimli arazide en yüksek yeri dış kapı ağzı ( $28.85$  m) en düşük yeri  $25.85$  m ile güneydoğudaki mandira önündedir. Düz ya da düzeye yakın olan arazide en yüksek yer ile en düşük yer arasında yükseklik farkı  $3$  metredir. Bu yükseklik, arazinin ilksel morfolojisinden çok, batıya yığılmış moloz yığınlarından kaynaklanır.

#### YERYAPISI

Çalışma alanının bulunduğu kesimde temel kaya Trakya Formasyonu diye bilinen İstanbul Paleozoisini yansitan kum taşları – şeyl (grovak)'tır. Genelde ilk  $10$  metresi bozmuş olan grovakta, çatlaklar  $50$  metre de-



Şekil 3. Çalışma alanının bugünkü durumu ve jeofizik ölçü noktalarının dağılımı.

Figure 3. Present projection of the study area and distribution of the geophysical stations.

rine dek gelişebilmektedir. Çoğunlukla, çatlaklarında nemlilik ve az miktarda su içerebilir. Tüm İstanbul – Eminönü yarımadasında olduğu gibi arazinin üzerini geçmiş uygarlıkların kalıntılarının karışımı olan moloz bir dolgu dönemselliklerle örter. Molozlar taş (genellikle maktralı kireçtaşı), tuğla, testi parçaları, harç, mermer parçaları, irili ufaklı çakıl, mozaik gibi karışıklardır. Bunlar kimi yerlerde düzenli yığınlar kimi yerlerde gelişigüzel dağılmış olarak görülürler. Arsa içinde molozların üzerine 1.8 ile 1.5 m kalınlığında kil, kum ve ince taneli gereçten olmuşmuş bitkisel toprak gelir.

KG doğrultulu normal faylar tepeden denize doğru inen yüzey biçiminin basamaklı oluşmasına yardımcı olmuştur. Bunlardan, biri arazinin ortasından 2–3 metrelük atımla, diğerinin arazinin doğusundan 7–8 metre atım ile geçer.

## JEOFİZİK ARAŞTIRMALAR

Yeraltı süressizliklerini fiziksel özellik değişimlerinden yararlanarak belirlemeye dayanan jeofizik yöntemler, etkin ve edilgen (active ve passive) ölçümler olarak yüzeyden uygulanmıştır. Çalışma alanında yapay kaynaklı sinyal alış-verişine dayanan elektrik ve sismik ile doğal kaynaklı sinyal algısına dayanan polarizasyon yöntemleri farklı uygulama biçimleri kullanılarak uygulanmış, sonuçları birleştirilerek yorumlanmıştır.

### **Elektrik Yöntemler**

Yer içinde doğru akım elektrik akımının geçişine karşı yeraltı süressizliklerinin gösterdiği farklı dirençlerin belirlenmesini içerir. Doğru akım elektrik özdirenç yöntemleri, çalışma alanında üç türde uygulanmıştır: a. Elektrik delgi (Sounding) – ROA (z), b. Elektrik kaydırma (Profiling) – ROA (x), c. Elektrik haritalama (Mapping) – ROA (x, y). Yaklaşık DB doğrultusunda uzanan alanda, 19 noktada elektrik delgi, 126 noktada elektrik kaydırma, 312 noktada elektrik haritalama ölçüleri alınmıştır (Şekil 3). Delgi kaydormalarda Lögn (Yarım Schlumberger) dizilimi için  $r_{\infty} = 500$  m boyunda ve doğu kesimde serili duran kaynak kullanılmıştır. Yer yer Schlumberger dizilimine geçilmiştir. Elektrik kaydormalarda, Yarım Schlumberger dizilimi ve DB doğrultulu serim uygulanmıştır. Haritaların ölçümlerinde KG doğ-

rultulu akım kolu serimi araziyi iki eşit parçaya bölmüş, ölçümler KG doğrultusunda uzanan 25 doğrultu boyunca alınmıştır. Taş yığınları, girilmeyen çalılık ve beton temelleri denk gelen yerlerde ölçüler atlanmış ve buradaki değerler ara değer bulma ile kestirilmiştir.

### **Sismik Yöntemler**

Yer içinden sismik dalga geçişine karşı yer süreklişılıklarının gösterdiği ayrı tepkilerin belirlenmesini kapsar. Sismik yöntemler, çalışma alanında üç türde uygulanmıştır: a. Sismik kırılma, b. sismik yansama, c. sismik kaydırma. Çalışma alanında tek kanallı, darbeli Geometrics – Nimbus taşınabilir sismografiyle ölçüler alınmıştır. Hesaplamlarla kritik evreler belirlenmiştir. Bu na göre yuruş noktasından, 2 m uzaklıktan sonra kırılan, tam yansımaya uğramış dalgalar ilk geliş olarak, daha sonraki yüksek erkli varyanslar da yansımaya dalgaları olarak alınmıştır.

**Sismik Kaydırma.** Durağan kaynak – (Jeofon) duyaç aralığı (x) için sarsım sinyalinin gidiş-geliş zamanı (t)'nin ölçülmesine dayanır. Böylece, sürekli konumu, boyutu, uzanış ve biçimini belirlenmiştir. Sismik kırılma ölçülerini 1'er metrelük aralıklarla 39 noktada DB ve KG doğrultulu açılımlarla, sismik yansama ölçülerini 312 noktada, sismik kaydırma ölçülerini  $x = 3$  ve 6 m için yaklaşık 624 noktada uygulanmıştır.

### **Uçlaşma (Polarizasyon) Yöntemleri**

Doğal Uçlaşma, Self Potential (SP) olarak da bilinen bu yöntem, yeraltında iletkenlik, iyon konsantrasyonu, sıcaklık ve basınç farklılığından doğan doğal uçlaşma akımlarının yansıtıldığı doğal gerilimin, bir noktaya göre göreceli ölçülmesini kapsar. Böylece, süreklişılığın yeri, derinliği ve fiziksel süreklişılık açısı bulunur. Ölçüler, a. Yığma (Stacking), b. Türev (gradient) biçiminde uygulanır. Yığma ölçümlerinde; göreceli V- gerilim değeri, türev ölçümlerinde ölçü noktaları arasındaki gerilim düşümü  $\Delta V / \Delta x$  ölçülmüştür. Yığınsal gerilim değerleri ve türev değerleri 312 noktada 0.1 mV duyarlılıkla ölçülmüştür. Her iki ölçüde de ölçme KG doğrultusunda sürdürülü, bağlama noktası kuzeydeki arsa içinde seçilmiştir.

## KALINTILARIN SİMGESEL JEOFİZİK TEPKİLERİ

### **Elektrik Delgisi**

Yer yer moloz, inşaat artığı ve kazı ürünü olan üst toprak, oturmuş ve orta-sert'tir. Elektrik özdirenci sıkılığına, kuruluğuna, karışımına göre  $220 \pm 50$  Ohm-m, kalınlığı 0.8 ile 1 metre arasında değişir. Yüzey toprağı altında kısmen gevşek ve nemli toprak yer alır. Elektrik özdirenci  $75 \pm 25$  Ohm-m arasında olup göreceli olarak iletkendir. Kalınlığı  $1.3 \pm 0.5$  metre arasında değişir (Çizelge 1). Sözü edilen yapay topraklar altında ya da gömülü olarak Orta Çağa özgü arkeolojik kalıntılar ya da arazinin olağan jeolojik kaya olan paleozoik yaşılı kumtaşları (grovak) yer alır.

Yapay kalıntılar; taş ve tuğadan yapılmış içi dolu ya da boş galeri ya da odacıklardanoluştuğu için süreklişızlığın türüne göre simgesel yükselim ve düşümlü bir biçim içerirken, ana kayadan oluşan belirtiler, simgesel bir temel yükselim ve sonlu bir özdirençle bitmektedir (Şekil 4 ve 5).

### **Simgesel Elektrik Polarizasyon ve Sismik Tepkiler**

Yatay yönde elektrik ve sismik özelliklerdeki değişim içi boş tünel ve molozun ayırt edilmesini sağlayan işaretler vermektedir.

Dirençli süreksızlık üzerinde elektrik özdirenç yüksekmekte,  $t_p$  sismik dalga geliş zamanı düşmekte, sismik dalga hızı artmaktadır. Uçlaşma yön değiştirmektedir, (dirençli kesim üzerinde artı elektrik alan) (Şekil 6). Düzenli yapı yerine moloz olması durumunda, elektrik özdirenç değeri 2–2.5 kat küçülmekte, ancak sismik geliş zamanı ve hız çok etkilenmemekle birlikte belirti genişliği artmaktadır (Şekil 6).

Simgesel hız değerleri için kritik açı değerleri  $31^\circ$  ve  $48^\circ$ 'dır. Kritik açının bu değerleri için yansımaya uğrayan dalgalar yeryüzünde kaynaktan yaklaşık 2 m uzaklıktan, tam yansımaya uğramış dalgalar ise yaklaşık 13 m uzaklıktan sonra algılanmıştır. Çalışma alanında Bizans döneminden kalma duvarlar üzerinde yapılan hız deneyinde ise P dalga hızı  $2500 \pm 100$  m/s, S dalgasının hızı ise  $1800 \pm 100$  m/s olarak elde edilmiştir.

### **Kazı – Jeofizik İşaret Uyumu**

Jeofizik ölçülerin duyarlığını belirlemek ve jeofizik haritalara gerçekçi yorum getirmek üzere D 13.5 noktasının doğu-batısı doğru önceden açılmış 2.5 metre derinliğindeki çukurdaki zemin kesiti incelenmiştir. Çukurdaki kesit ile bu çukuru en yakın D 15 noktasında çekilen Schlumberger elektrik delgisi karşılaştırılmıştır. Sonuçlar ile çukur kesiti arasında iyi bir uyum gözlenmiştir. Eğri biçimi HKH türüdür (Şekil 4 ve 7).

1. Katman, bitkisel tarım toprağı olup, elektrik özdirenci 330 Ohm-m, kalınlığı 1.3 metredir.
2. Katman, kısmen nemli, çakıl ve çakıl boyutunda dolgu gereçlerinden oluşmuştur. Elektrik ödirenci 165 Ohm-m kalınlığı 1.7 metre, taban derinliği 3 metredir.
3. Katman, 3750 Ohm-m ile dirençlidir. Bu katmanın giriş derinliği 3 metre, katmanın kalınlığı 60 cm olup, eski zaman inşaat artıklarının oluşturduğu, küp, testi parçacıkları, tuğla, taş harç parçaları ve çeşitli eski inşaat artıklarından oluşmuştur. Çok düzenli bir belirti veren bu molozların, elektrik haritada gözlenen yüksek görünürlük özdirenç belirtisini yaratan kaynak olduğu sanılmaktadır.
4. Katman, iletken olup 60 Ohm-m özdirencinden dir. 3.6 metrede girilen bu katmanın kalınlığı 8.4 metre, taban derinliği 12 metredir. Altta Palaeozoik kumtaşları ve şeylin bozmuş ürününü olan bu birimin genellikle kılılı ve nemli olması beklenir.
5. Katman, 280 Ohm-m ile orta dirençlidir. Paleozoik kumtaşları olması beklenen bu birime giriş derinliği 12 metredir.

### **YERALTı JEOFİZİK KESİTLERİ**

Olası süreksızlık eksenleri KG doğrultusundadır ve buna dik DB doğrultusundaki M, L, K, J, H, F, D ve B yeraltı jeofizik kesitleri çıkarılmıştır. Bunlardan J, L Şekil 8 ve 9'da verilmiştir. Kesitlerde yukarıda yeraltının ayrı fiziksel özellik ve ayrı ölçüm türlerine göre jeofizik tepkileri, altta bunların değerlendirilmesinden çıkarılan yeraltı yapısı sunulmuştur. Yukarıdan aşağıya doğru, sözcü edilen jeofizik tepkiler;

**Çizelge 1. Sultanahmet arkeolojik alanındaki doğal ve yapay birimlerin simgesel jeofizik özellikleri.**

**Table 1. Typical geophysical values of various materials in the Sultanahmet archaeological site.**

Birim	Kalınlık H (metre)	Elektrik Özdirenç RO (ohm-m)	Sismik Hız V1 (m/sn)	tp x = 3 m. (msec)
<b>ÜST TOPRAK</b>				
Kum, taş, moloz, eski kazı toprağı, inşaat artıklarından oluşan karma topluluk	0.8 - 1	220 ± 50	325 ± 75	15 ± 5
<b>DOLGU TOPRAK</b>				
Eski kazı artığı, orta-sıkı, gevşek, nemli, kum, taş kırığı	1.5 - 6	75 ± 25	445 ± 50	10 ± 2
<b>TEMEL KAYA</b>				
Paleozoik kumtaşı, şeyl, grovak üst kesimi bozmuş	-	500 ± 100	600	
<b>ARKEOLOJİK KALINTILAR</b>				
Taş ve tuğladan yapılmış örme duvar, eski taş-tuğla yığıntıları	0.5 - 6	750 ± 250	1000 ± 150	6 ± 1

1. En üstte, elektrik kaydırma eğrileri yer alır. Bu nedenle kesikli çizilen duran kaynak (stationary source S.S.) sürekli çizilen gezen kaynak (moving source M.S.) için elde edilen tepkileri sunmaktadır. Her ikisinde de ölçü alma aralığı 3 metre olmakla birlikte S.S.'de ölçüm doğrultusu KG, M.S.'de DB'dir.

2. Ortada, sismik tepki eğrileri yer alır. Bu nedenle sürekli eğri V<sub>2p</sub>, örtü altı (ikinci katman) P-dalgası hız değişimini, kesikli eğri ise x = 3 m alıcı-verici aralığı için sismik dalga geliş zamanı (t<sub>3</sub> - msn) olarak yansıtır.

3. Altta, yerin SP eğrisini yansıtır. Sürekli eğri Polarizasyon gerilimini, basamaklı olan türevini yansıtır.

4. Tabanda, yer alan ve jeofizik verilere göre hazırlanan kesit ise yukarıdaki belirtilerin değerlendirilmesinden ve kazı sonuçlarından çıkarılan süreksızlık yorumlarını içerir.

Kesitte, kesikli çizgi sismik ölçülerden çıkarılan yeraltının olasılıkla yapışma öncesi morfolojisini yansıtır. Çemberler, polarizasyon mekanizmasını belirtir.

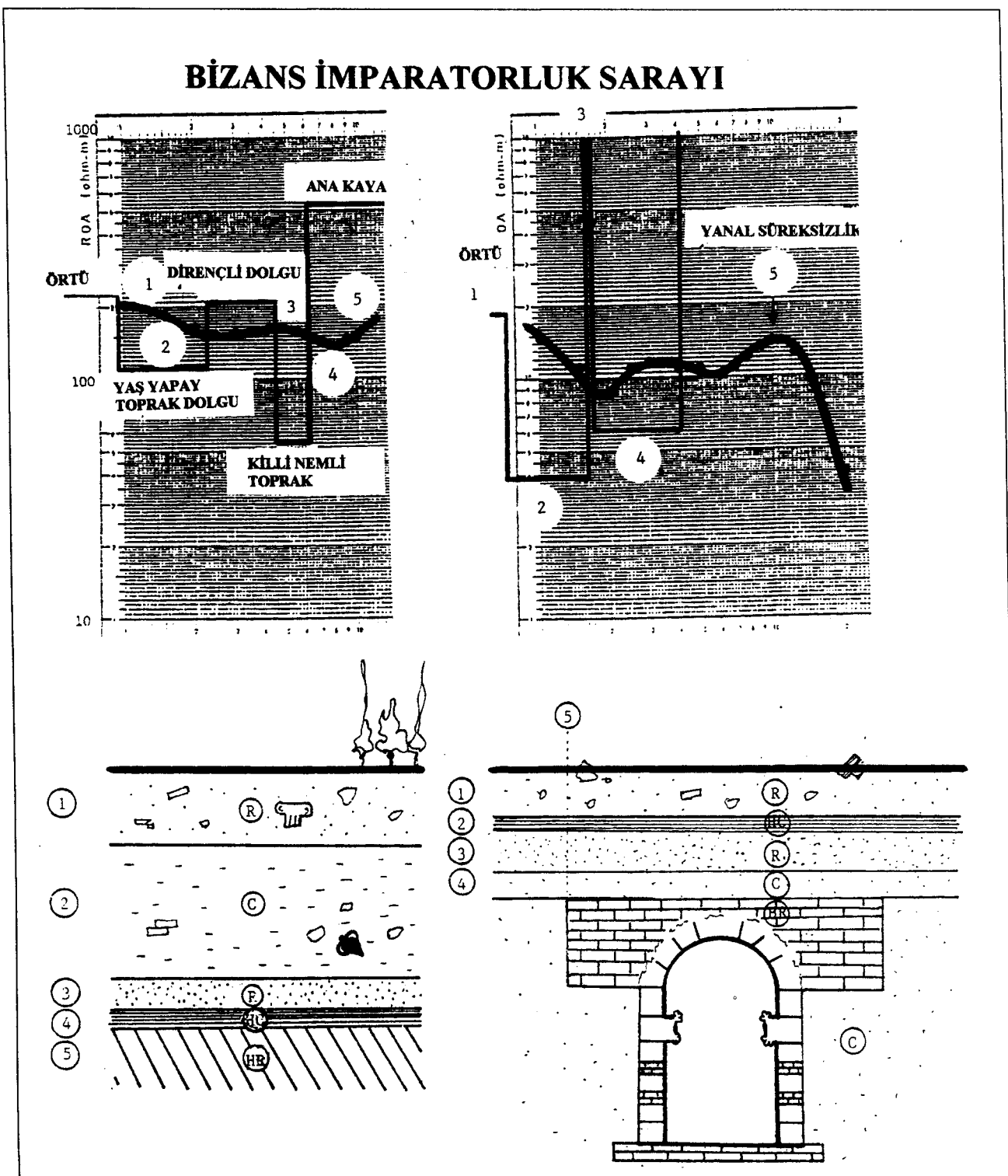
### İşaretler Arası Uyum

Jeofizik işaretler arasında bir uyum vardır. Bu uyum, dirençli süreksızlıklar üzerinde; özdirenç değerleri büyük, t<sub>3</sub> sismik dalga geliş zamanları erkenci, polarizasyon değerleri 90° uçaşmalıdır. Ancak belirli konumlarından yer yer kaymalar gözlenir. Bu noktalarda, sismik hızda artış izlenmiştir. Ancak sismik hız değerleri seyrek aralıklarla ölçüldüğünden her durumda uyum izlenmeyebilir. Uçlaşma ve gezen kaynak elektrik belirtileri sismikten bulunan yeraltı kesiti ile uyum göstermektedir. Taban kaya derinlikçe (örtü kalınlaşıkça) gerilim değerleri (-) değerlere doğru gitmekte ve özdirenç değerleri de küçülmektedir.

### JEOFİZİK KAT HARİTALARI

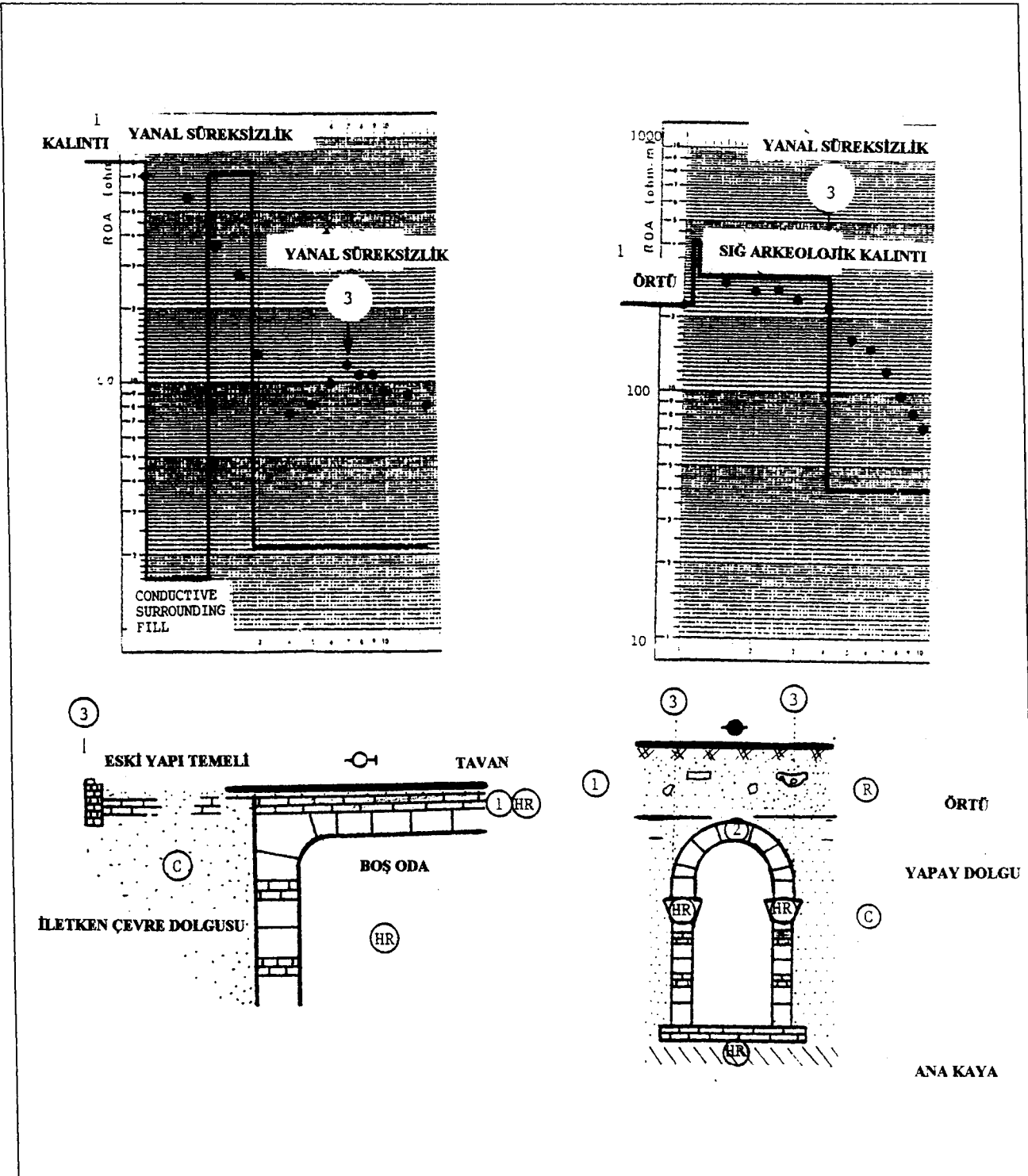
#### Gezen Kaynak Elektrik Kaydırma Ölçüleri

Lögn dizilimi; yakın uçları, r = 20, b = 3, Δx = 3 m ve sonsuz ucu, doğudaki Cankurtaran demiryolunun deniz tarafına çakılarak düzenlenmiştir. Dizilim merkezi



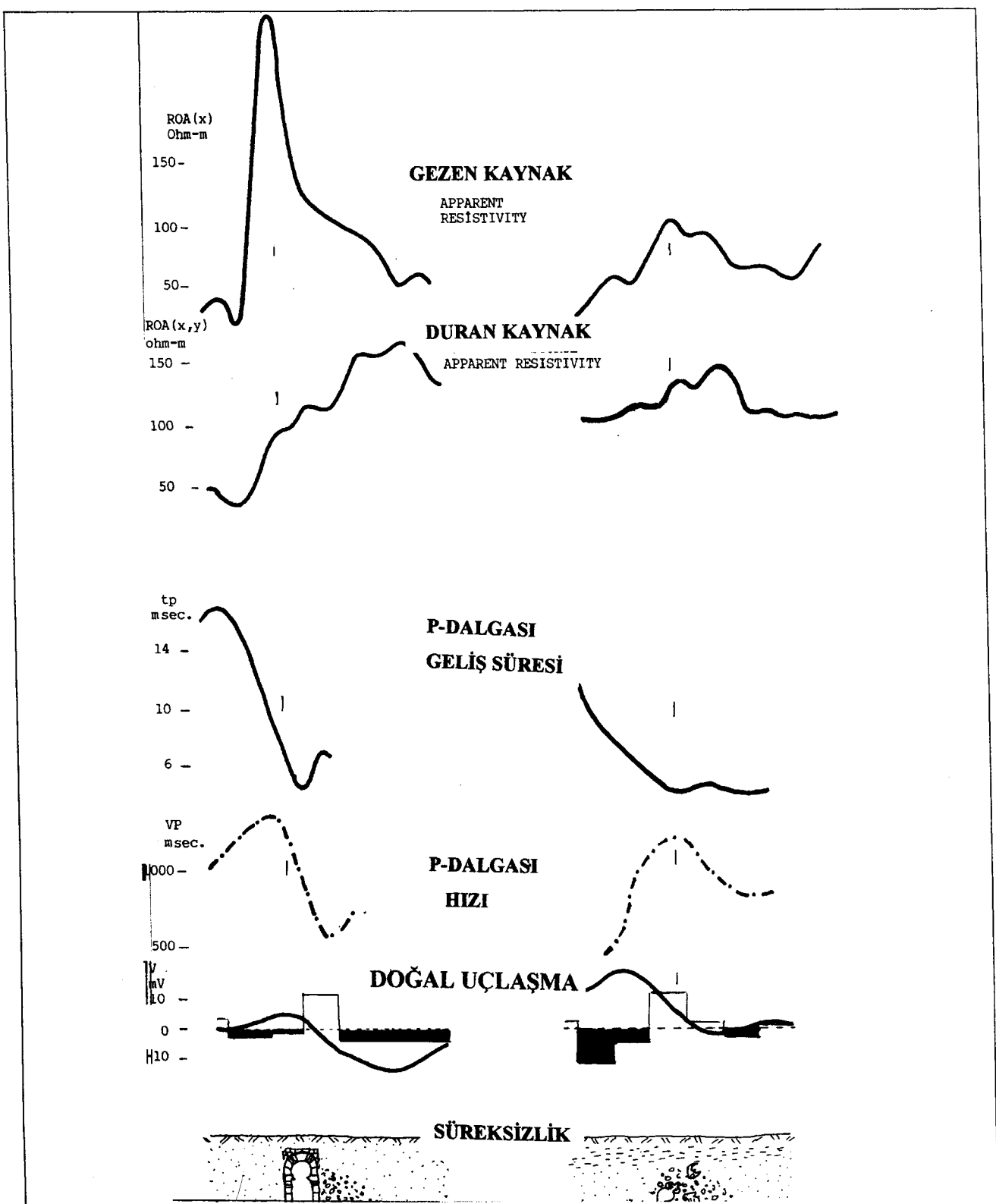
Şekil 4. Çalışma alanının simgesel yer elektrik tepkisi (sol). Derinde yanal süreksızlığın düşey elektro üzerindeki işaretti (LM 8.5) (sağ)

Figure 4. Typical geoelectrical sounding response of the study area and typical geoelectrical sounding response of a deep lateral discontinuity (LM 8.5) (C-Conductive, HC-Highly Conductive, R-Resistive, HR-Highly resistive)

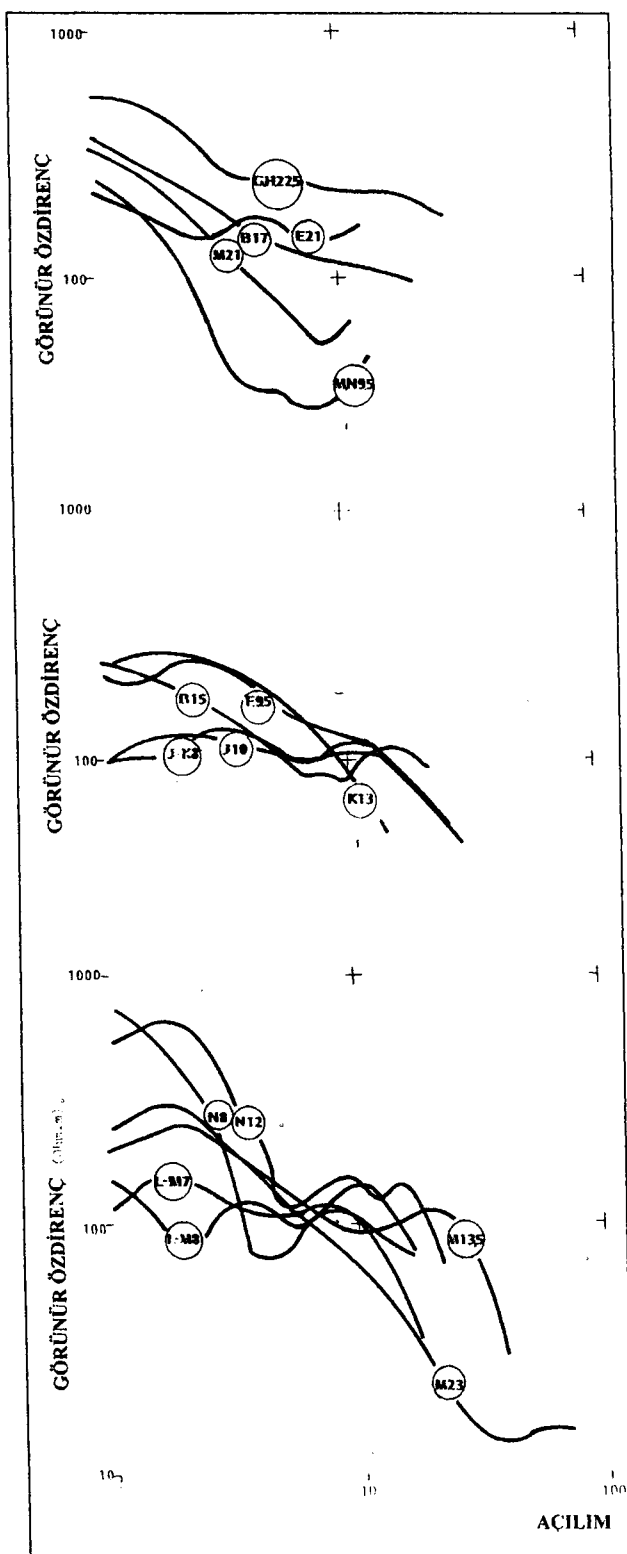


Şekil 5. Dirençli arkeolojik kalıntıların simgesel elektrik delgisi. Ölçü merkezi kalıntıının orta – üzerinde (K 13) (sağ), Arkeolojik oda ve yandaki yıkık temelin yerelektrik delgisi (N 8) (sol). (C–İletken, HC–çok iletken, R–dirençli, HR–çok dirençli)

Figure 5. Typical geoelectrical sounding anomaly over the resistive archeological remain (K 13) (on the right) and typical geoelectrical sounding anomaly over the shallow archeological room and neighboring foundation remnant (N 8).



Şekil 6. Gömülü bir tünel ve molozun jeofizik belirtileri üzerinde simgesel işaretleri.  
Figure 6. Characteristic geophysical signatures of an hidden tunnel and resistive rubble.



**Şekil 7.** Çalışma alanında alınan çeşitli Yarım Schlumberger elektrik delgi eğrileri.

**Figure 7.** Various Half-Schlumberger electrical sounding curves of the site.

3'er metre aralarla DB doğrultusunda kaydırılarak 7 ile 25 noktaları arası taranmıştır. Bu doğrultudaki ölçümler özellikle KG doğrultusunda uzanan süreksizliklerin belirlenmesine duyarlıdır. ROA ( $x, y, r = 20$  m) için görünür özdirenç değerleri 25 ile 275 ohm-m arasında değişmektedir. En büyük özdirenç değerleri halihazırda bilinen Bizans Sarayı giriş galerisi üzerinde gözlenir (Şekil 10). Galeri üzerinde değerler 100 ile 275 ohm-m üzerinde yer almaktadır. Bu arazide kullanılan dizilim boyu için ortalama görünür özdirenç değeri 50 ohm-m, geçiş özdirenci 75 ohm-m, belirgin anomali özdirenci 100 ohm-m ya da daha büyük değerlerdir. Süreksizliğin sıçradığı yerlerde ROA 200 ile 275 ohm-m arasında yer alırken, derinleşikçe 100 ohm-m ve hatta 75 ohm-m'ye dek düşmektedir.

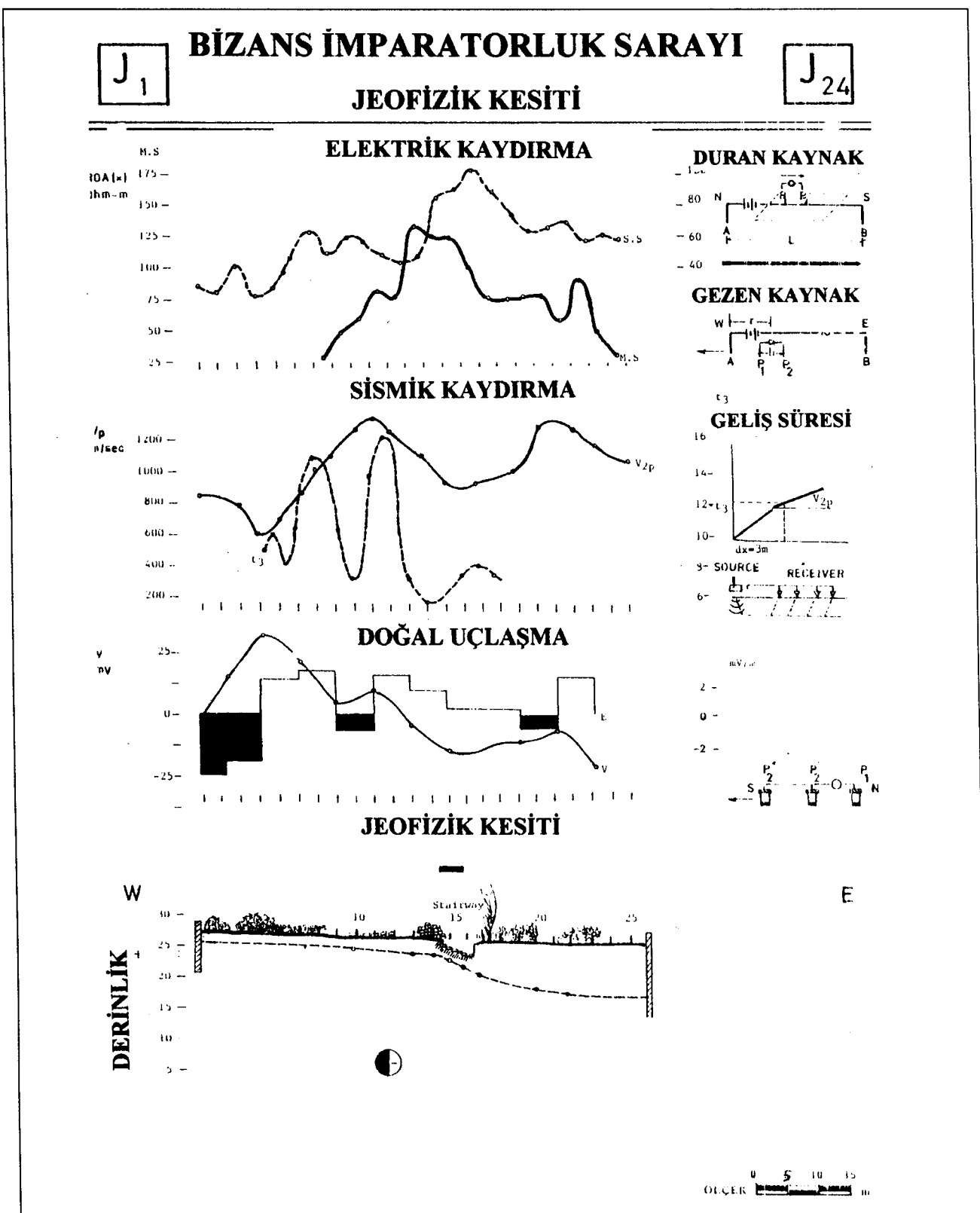
#### Duran Kaynak Elektrik Haritalama Ölçüsü

Duran kaynak akım kolu boyu  $L = 150$  m olup dikdörtgen biçimli çalışma alanının yan kenarı DB, kısa kenarı KG doğrultulu olup  $45 \times 75$  metre en ve boyundadır. Bu arazide ROA ( $x, y$ ) görünür elektrik özdirenç kat haritasını çıkarmak üzere, duran kaynak akım kolu KG doğrultusunda serilmiş ve serim çizgisi araziyi doğu ve batı bölüm olmak üzere iki eşit parçaya bölmüştür. Kaynak akım kolu boyu  $L = 150$  m, yerden geçen akım 1500 mA durağan tutulmuştur. Ölçüler KG doğrultusunda 3 metrelilik gerilim kolundaki gerilim düşüsleri biçiminde ölçülmüş, okumalar iki nokta arasına atanmıştır (Şekil 10). ROA ( $x, y$ ) eş görünür elektrik özdirenç kapalımları 11 ile 146 ohm-m arasında değerler vermiştir.

#### SİSMİK KIRILMA HARİTALARI

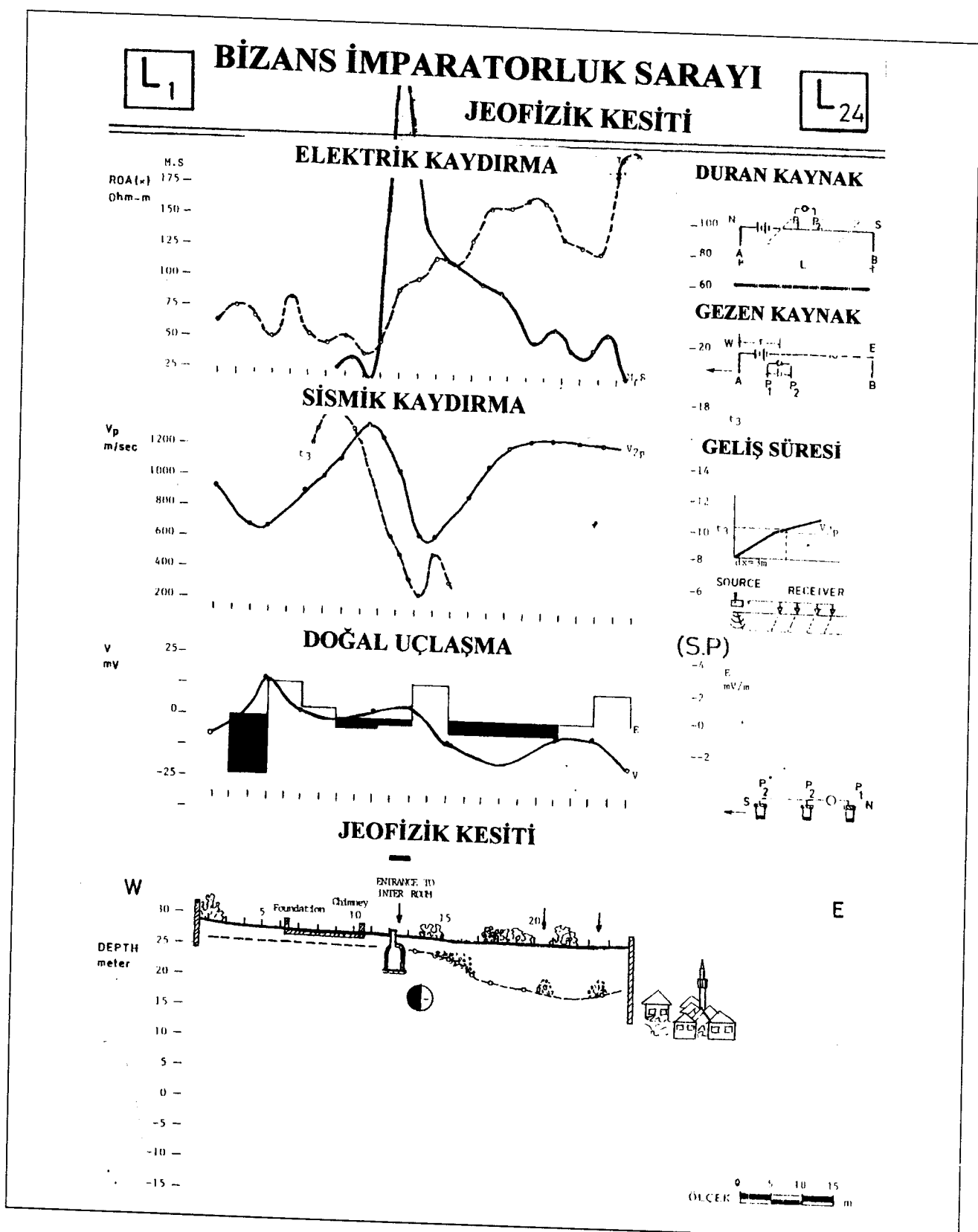
Sismik kırılma ve yansımı ölçümlerinden,  $V_1(x, y)$ ,  $V_2(x, y)$  ve  $h_1(x, y)$  çıkarılmıştır. Ayrıca  $x = 3$  kaynak – alıcı aralığı için  $t_3$  sismik görünür geliş zamanı kat haritaları çıkarılmıştır (Şekil 11 ve 12).

Birinci katman, temel kaya ya da arkeolojik kalınlığı kapatılan üst örtü katmanını simgeler. Örtünün simgesel dalga hızı,  $V_1 = 334 \pm 53$  m/s bulunmuştur. Değerler örtünün sıkılığına göre 200 ile 600 m/sn arasında değişir. İkinci katman, örtü altında temel kaya, ya da arke-

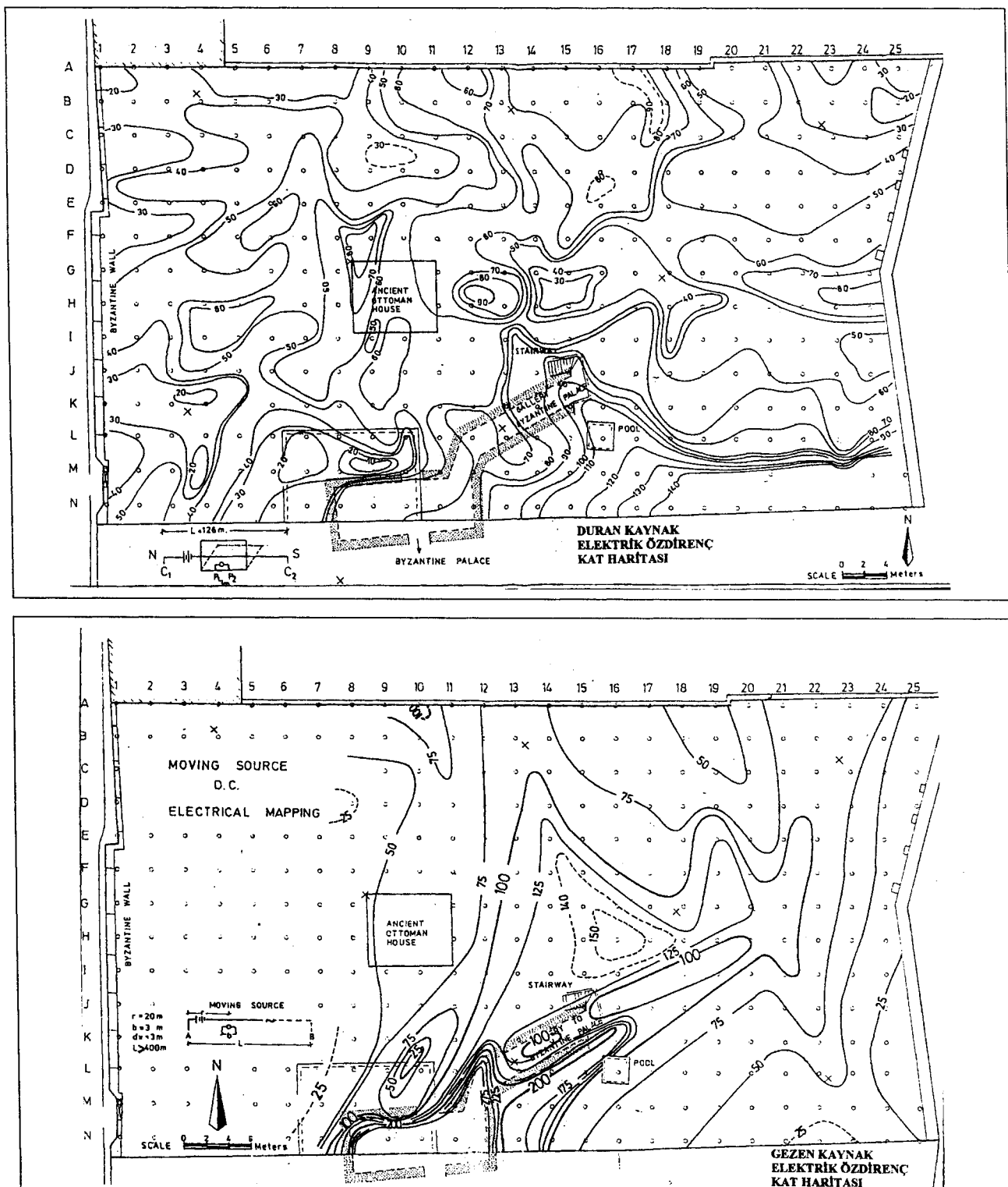


Şekil 8. J– doğrultusu boyunca arkeojeofizik kesit.

Figure 8. Archaeogeophysical section along profile J.



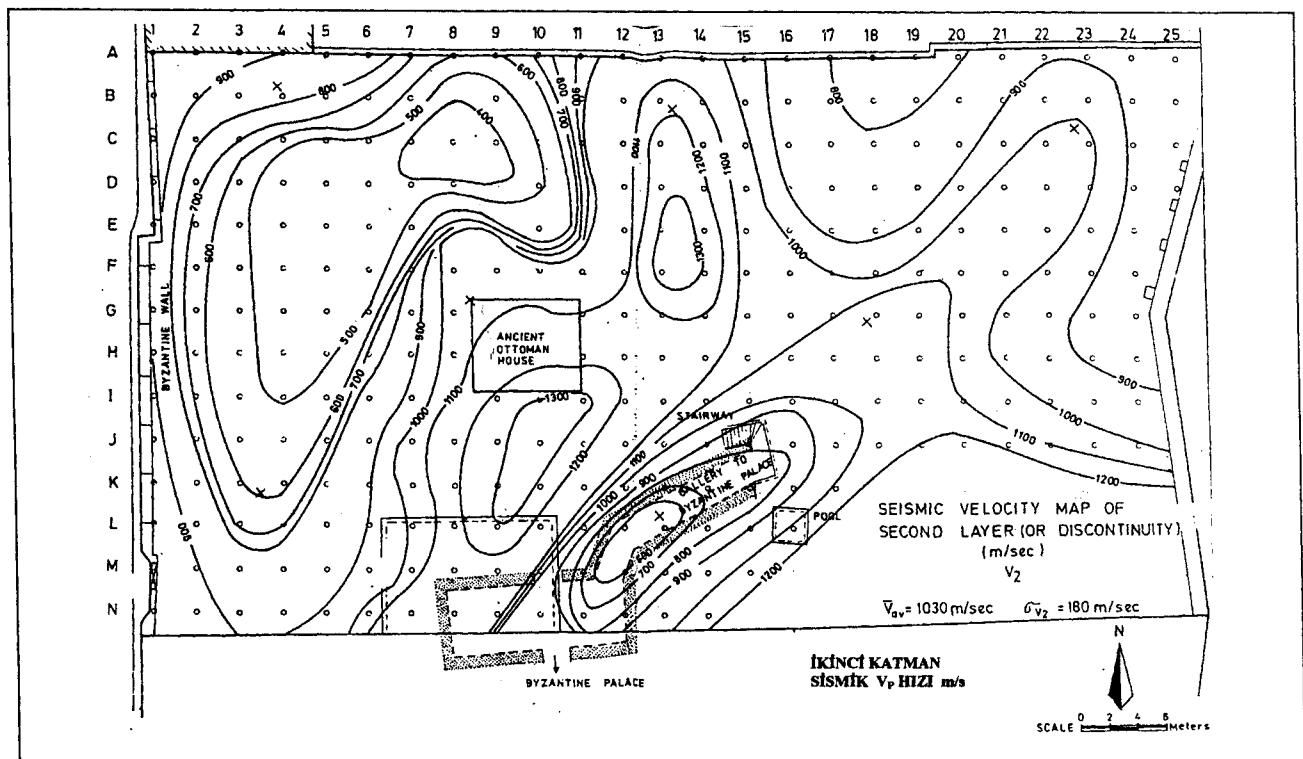
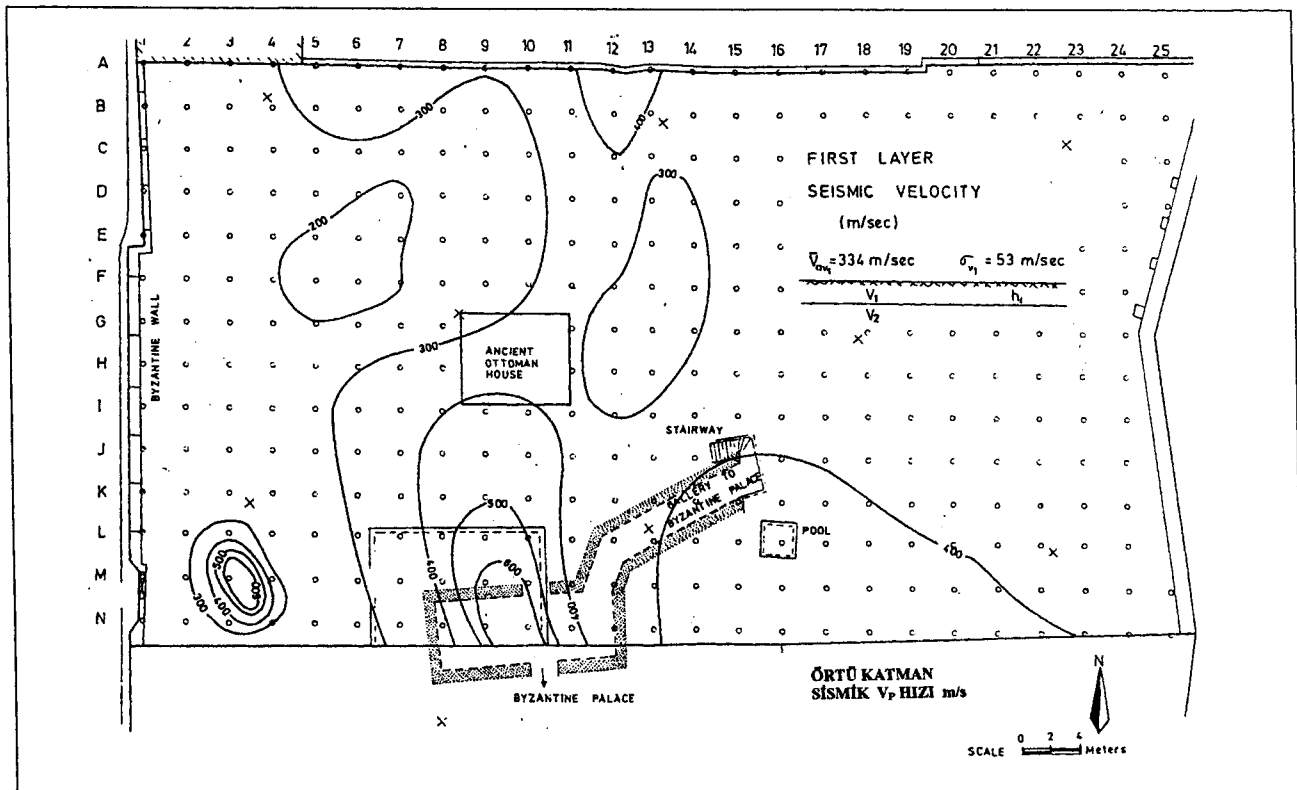
Şekil 9. L- doğrultusu boyunca arkeojeofizik kesit.  
Figure 9. Archaeogeophysical section along profile L.



Şekil 10. Yer elektrik kat haritaları. a. Duran kaynak görünür elektrik özdirenç kat haritası ( $\text{Ohm-m}$ ) (yukarıda). b. Gezen kaynak doğru akım görünür elektrik özdirenç kat haritası (aşağıda). Yarım Schlumberger  $r= 20 \text{ m}$ ,  $b= 3 \text{ m}$ ,  $dx= 3 \text{ m}$ ,  $L \geq 400 \text{ m}$  ( $\text{Ohm-m}$ )

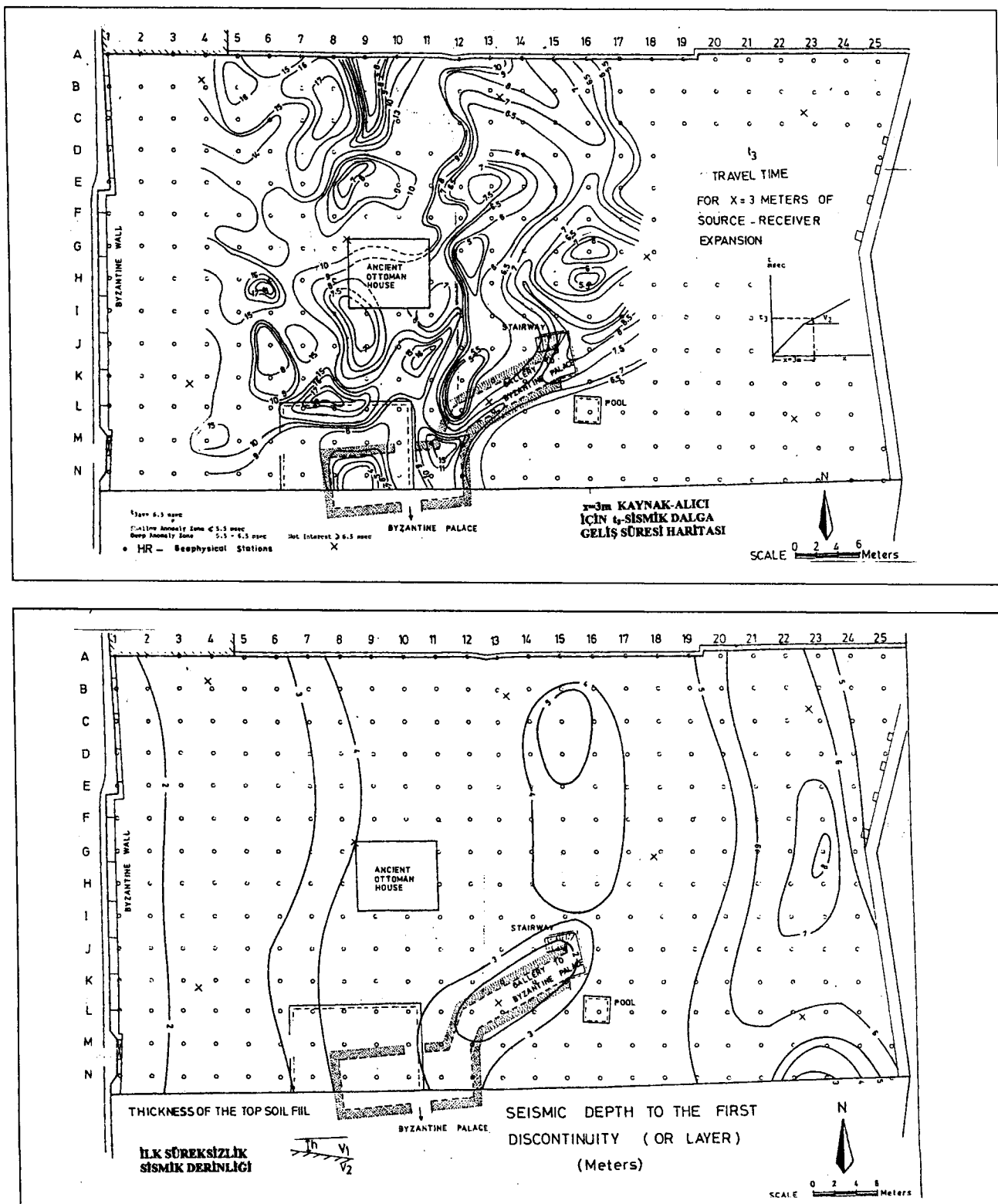
Figure 10. Moving source D.C. apparent resistivity map. Half Schlumberger array,  $r= 20 \text{ m}$ ,  $b= 3 \text{ m}$ ,  $dx= 3 \text{ m}$ ,  $L \geq 400 \text{ m}$  (below). Stationary source D.C. electrical resistivity map ( $\text{Ohm-m}$ ) (above)

## Ercan ve Kenar



Şekil 11. Birinci katman sismik hız haritası – V<sub>1</sub> (yukarıda) ve ikinci katman sismik hız haritası – V<sub>2</sub> (aşağıda).

Figure 11. Seismic velocity map of first layer layer – V<sub>1</sub> (above) and seismic velocity map second layer – V<sub>2</sub> (below).



Şekil 12. İlk sig süreksizlige olan sismik derinlik (aşağıda) ve  $x= 3$  m kaynak – alıcı aralaması için sismik geliş süresi kat haritası.

Figure 12. Seismic depth to the first discontinuity (below) and travel time map for  $x= 3$  meters of source – receiver distance (above).

olojik kalıntı hızını yansıtır. Ortalama hız değeri,  $V_2 = 1030 \pm 180$  m/s'dir. En yüksek değerlerini Bizans galerisi üzerinde edinir. Örtü altı süreksızlık, çalışma alanı altındaki temel kaya olabileceği gibi, taş-tuğla örme duvar ya da bunların döküntüsünden de kaynaklanabilir. Ancak temel kaya da görünür P-dalgası hızının,  $V_{2\text{temel}} = 750 \pm 250$  m/s ve örme duvarlarda,  $V_{2\text{duvar}} = 1200 \pm 100$  m/s olması çoğunlukla temel kayanın yapay kalıntıdan ayrılmamasına yardımcı olur (Şekil 11 ve 12).  $x = 3$  metre için ortalama geliş zamanı  $t_{3\text{ort}} = 6.5$  milisaniye olarak bulunmuştur. Sığ belirti kuşaklarında bu değer 5.5 ms'den küçük, derin belirti kuşaklarında 5.5 – 6.5 ms olduğu belirlenmiştir. Temelin derin, ya da kalıntı olasılığının olmadığı yerlerde, geliş süresi 6.5 ms'n'den büyuktur.

## UÇLAŞMA KAT HARİTALARI

3 metre aralarla KG doğrultusunda, arazinin kuzey-batısından başlamak üzere yükselsal (staking) bağlamalı olacak biçimde sürdürülmüştür.

Polarizasyon Gerilimi (V) ( $-30$  mV) ile ( $+30$  mV) arasında değişmektedir. KG doğrultulu 13 noktalarından geçen çizgi, yaklaşık (+) ve (-) uçaşmanın sınırını gösteren sıfır uçaşma çizgisidir (Şekil 13). Sismik geliş süresi haritasına göre, bir çizgi taban kayanın içerdeği şev çizgisi ile çakışmaktadır (Şekil 12). Diğer bir deyişle (+) bölüm (batı kesimde) taban kaya sığ ve örtü ince, doğu kesimde taban kaya derin ve örtü kalındır. Ayrıca arazinin, doğusu batısına göre daha nemlidir. Ancak sismik derinlik haritası ile karşılaşıldığında eksik genlikli gerilim anomalileri, örtünün kalın olduğu kesimlerde oluşmaktadır.

## KALINTI DERİNLİĞİ VE KONUMU

Duran ve gezen kaynak elektrik özdirenç ROA ( $x, y$ ), Doğal Uçaşma gerilim ve elektrik alan G ( $x, y$ ), E ( $x, y$ ), sismik hız ve gelişzamanı V ( $x, y$ ), t ( $x, y$ ) jeofizik haritaları üst üste çakıştırılarak kalıntı konum ve boyutlarının yüzeydeki izdüşümlerini gösteren iki boyutlu belirtiler elde edilmiştir (Şekil 14).

Sözü edilen belirtilerin simgelediği süreksızlıkların türü, elektrik özdirenç, sismik hız gibi fizikal değişimlerin büyüklüğüne doğrudan bağlı değildir. Böyle je-

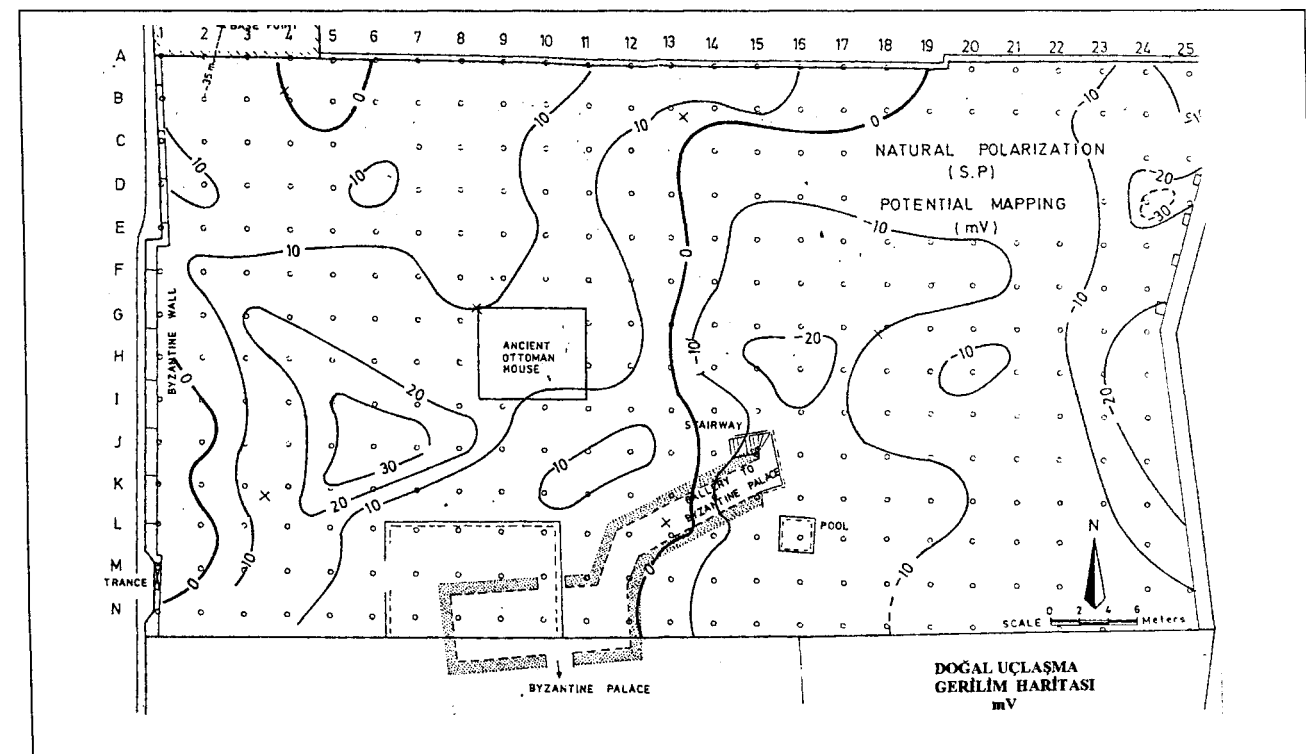
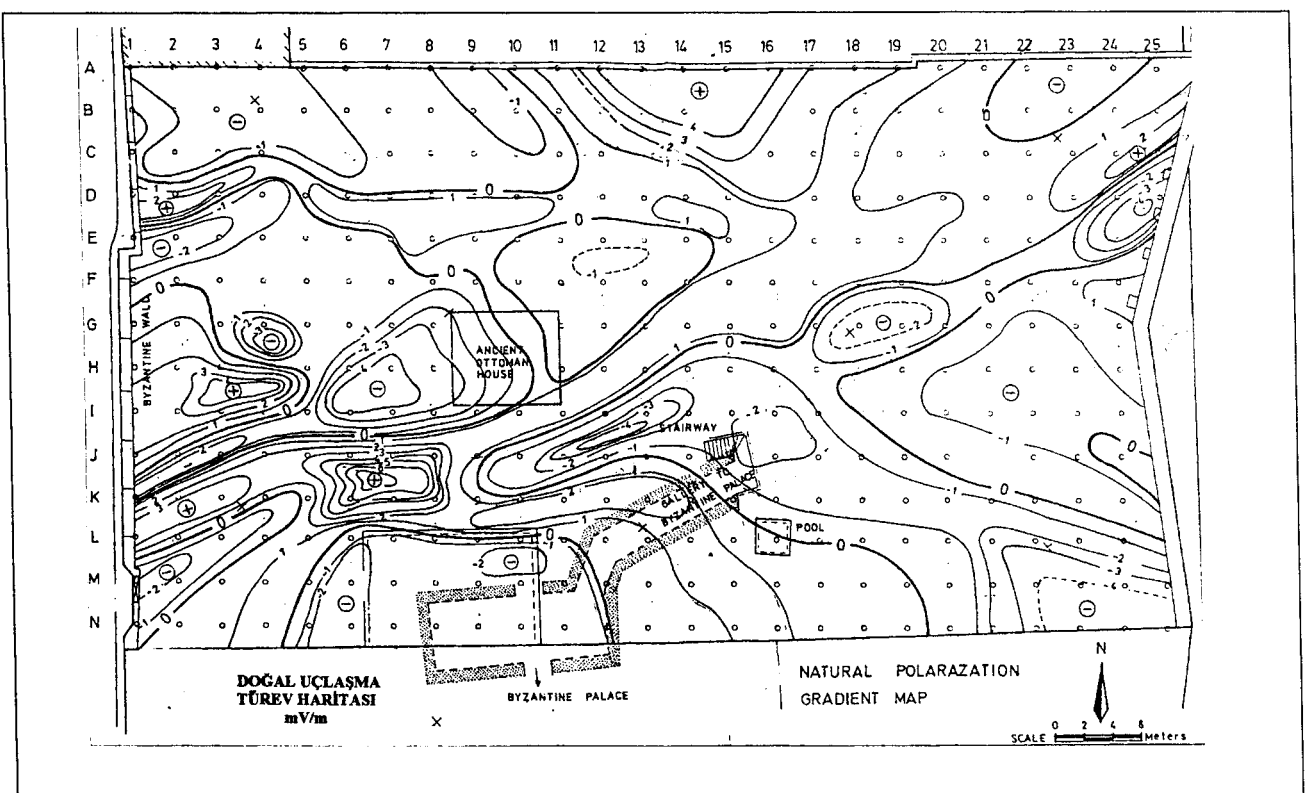
ofizik süreksızlıklar, arkeolojik kalıntı olabileceği gibi, tarihsel dönemlerde bir yere yapılmış inşaat artığı taş, tuğla yiğini, arkeolojik değeri olmayan, yeni zamanda yapılmış inşaat kalıntıları, ya da yerel olarak sıkıştırılmış kuru ya da nemli toprak ya da ölçü zamanında yüzezden aktığı görülen çeşme suyunun yüzeyde yeraltı boşluklarında oluşturdukları birikintiler de olabilir.

Bu çalışma ile aranan kalıntı türü, yeraltı oda ve galerileri gibi yüksek elektrik özdirenç ve yüksek sismik hız değerleri vermesi beklenen süreksızlıklar olduğundan bu gibi belirtiler üzerinde derinlik denetimi için elektro çekimleri ve sismik kırılma ölçüleri alınmıştır.

Derinlik denetimi için çalışma alanında 20 tane düşey elektro çekimi Schlumberger ya da Lögn dizilimi kullanılarak yapılmıştır. Elektrik delgi noktaları, 14 yerde iki boyutlu jeofizik belirtiler üzerinde ve yerin doğal tepkisini belirlemek üzere ve bir kaç yerde de belirti dışında seçilmişdir. Ölçülerde biri sığ, diğerinin derin olmak üzere iki derinlik düzeyi ile karşılaşılmıştır. Sığ derinlikteki süreksızlık derinlikleri 0.7 ile 2.8 metre, derin süreksızlıklar 6 ile 10 metredir. Genelde sığ derinlikler kalıntıının tavanının, derinler ise tabanı ya da tabandaki kayayı simgelemektedir. Belirtiler üzerinde alınan, düşey ve yanal süreksızlıklar işaret eden elektrik delgiler aşağıda verilmektedir.

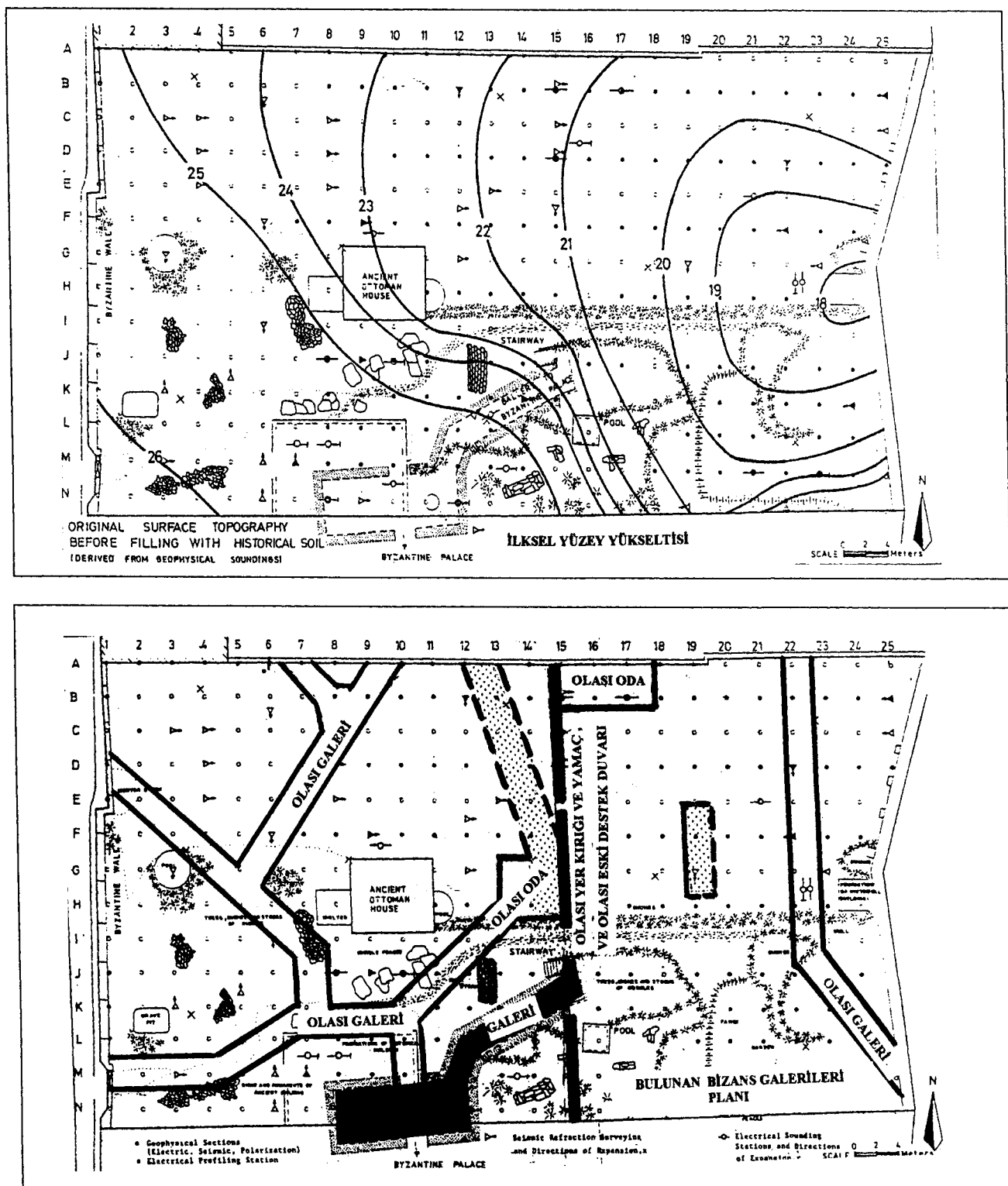
Elektrik delgilerin biçimlerinden izlendiği gibi çoğu keskin köşeli doruk ya da çukur yapmaktadır. Bu durum, eğriyi biçimlendiren ana etmenin yatay süreksızlıklar olduğunun bir işaretidir. O nedenle, her ne kadar eğriler ayrıca katmanlı ortam modeline göre değerlendirilmiş olsa da, yanal süreksızlıklere göre değerlendirilmeleri önemle göz önünde bulundurulmalıdır.

Derinlik denetimi yapmak üzere çalışma alanının ayrıca 39 noktasında sismik kırılma ölçüsü alınmıştır. Ancak, sismik ölçü aralığı en az 1 metre alınmıştır. O nedenle genellikle 1 metreye dek olan süreksızlıklar değil, 2 metreden sonra olan süreksızlıklar gözlemlenmemiştir. İlk katmanın ortalama sismik hızı  $V_{1p} = 334 \pm 53$  m/s iken, ikinci katmanın  $1030 \pm 180$  m/s bulunmuştur. Ortalama ikinci katman derinliği  $4 \pm 2$  metredir. Derinlik değerlerinin batıdan doğuya 2 metreden 8 metreye dek düşmesi genelde sismikte görülen süreksızlığın, araziyi örten yapay dolgu ile Paleozoik temel kaya dokunağı olduğu ve ilksel topografyanın batıdan doğuya doğru % 9 (5°) eğimli olduğu anlaşıılır (Şekil 14, 8 ve 9).



Şekil 13. SP türev haritası (mV/metre) (yukarıda) ve SP gerilim haritası (mV) (aşağıda).

Figure 13. SP gradient map (mV/m) (above) and SP map (mV) (below).



**Şekil 14.** Jeofizik çalışmalarla belirlenen, Bizans İmparatorluk Sarayı yapılmasıından önceki kestirilmiş özgün yüzey yükselti haritası (yukarıda) ve çalışma sonucu belirlenen arkeolojik kalıntı yerleri (gölgeli olarak gösterilmiştir).

**Figure 14.** Original subsurface topography before filling with historical soil, derived from geophysical data (above) and interpreted location of possible locations of underground Eastern Roman galleries (below).

## SONUÇLAR

Sokullu Sarayının kurulduğu yerde, Bizans Sarayı kalıntılarının varlığı, jeofizik araştırmalarla elektrik, sis- mik ve doğal uçaşma yöntemi kullanılarak aranmıştır. Her yöntemden elde edilen süreksızlıklar, üst üste ko- yarak birleşik değerlendirmeye gidilmiştir. Güneydeki Mandıra kesiminde BİS giden galeri ölçüngde başka bir süreksızlık işaretü ile karşılaşılmamıştır. Ancak, J 15 noktasında galeri girişinin kuzeydeki B 13 noktasına doğru giden yüksek dirençli, yüksek sismik hızlı ve 90° polarizasyon açılı süreksızlığın eski yapı yıkıntıları artık malzemesini kapsayan moloz yığını olduğu sanılmaktadır. Tam bu çizgi boyunca paleotopografyanın, belki bir fayla kazanılmış şeş boyunca dökülmüş molozlar şeş düzlemek amacıyla Bizans ya da Osmanlı döneminde atılmış olabilir. Düzenli bu moloz kuşağının yanısıra, arazinin hemen hemen tamamına yayılmış, dönemsel gömülü moloz katmanları yer alır. Molozların öbek oluşturduğu yerlerde yerel süreksızlık işaretleri ile karşı- laşılmış olup, bunlardan biri G 19 – E 19 arasında uzanır.

Elektrik süreksızlıklarından sıç olsanları 0.7 ile 2.8, derin olsanları 6 ile 10 metredir. Sıç olsanlar, sıkıştırılmış yapay kazı toprağı orta dirençli yıkık inşaat gerçelerinden oluşmuş molozlar yüksek dirençli, düzenli arkeolojik yapılar çok yüksek özdirençli, özdirenç belirtileri ile tanınmıştır.

1 – 1.5 metre kalınlığındaki bitkisel toprak örtüsü simgesel sismik dalga geçiş hızı  $334 \pm 53$  m/sn'dır. Tarihsel moloz ve duvar biçiminde arkeolojik kalıntıının  $1000 \pm 150$  m/sn'dır. Tarihsel molozun üst yüzeyinin derinliği  $4 \pm 2$  metre, ilksel Paleozoik temelin ise 8 ile 10 metre olduğu belirlenmiştir. Jeofizikten bulunan ve tarihsel dönemde araziye molozların atulmadan önceki yüzey topografyasının batıdan doğuya doğru % 9 ya da 5° eğimli olduğu bulunmuştur. Eş derinlik çizgileri KG doğrultuludur. Arazinin bugünkü topografyası batıda 28.5, doğuda 26.5 metre, molozlar dökülmeden önce, batıda 26, doğuda 18 metre olarak belirlenmiştir.

## KATKI BELİRTME

Bu çalışma T.C. Kültür Bakanlığı Anadolu ve Mü- zeler Müdürlüğü İstanbul Arkeoloji Müzesi ve İstanbul 1 numaralı Kültür ve Tabiat Varlıklarını Koruma Kurulu isteği ile, Prof. Dr. Metin Altunbay sorumluluğunda sürdürülmüştür. Çalışmanın akçal destegini HÜKO Metal A.Ş'den, Makine Müh. A. İrfan Kocabiyik, önceki yerleşimler üzerine bilgileri Prof. Dr. Ahmet Refik Alp sunmuştur. Ölçüler için jeofizik donanım ve mühendis destegini Yeraltı Aramacılık labaratuvarları sağlamıştır. Çalışmada yer alan Jeofizik Müh. Metin Özmen, Ümit Al, Harita Teknisyeni Melek Köklü, Halil Kabak, jeofizik deneyimcileri Hakan Dikici, Şinasi Onur, Ümit Yal-çın Kalyoncu, Halil Yılmaz ve yazmanımız Lale Kırırmızı ugraşları için sağıolsunlar.

## KAYNAKLAR

- Brett, G., Martiny, G. ana Stevenson, R.B.K. 1947a, The Great Palace of the Byzantine Emperors. Being a first report on the excavations carried out in İstanbul on behalf of the Walker Trust (The University of St. Andrews) 1935 – 1938, Oxford.
- Brett, G., Martiny, G. and Stevenson, R.B.K., 1947b, The Great Palace of the Byzantine Emperors, Oxford.
- Eyice, S. 1988, "İstanbul'da Bizans İmparatorlarının Sarayı: Büyük Saray", Sanat Tarihi Araştırmaları Dergisi, 1., 3, 3–36.
- Eyice, S. 1997, Büyük Saraj Döşeme Mozayıği ve Halılar ile Olan İlişkisi, Arkeoloji ve Sanat Mecmiası, 81, 19–24.
- Jobst, W. 1997, A-Z İstanbul Rehber Atlas, Aysa Limited, Şişli-İstanbul, 288.
- Müller-Wiener, W. 1977, Bildlexikon zur Topographie Istanbuls, Tübingen, 225–237.
- Rice, D.T. 1958, The Great Palace of the Byzantine Emperors, Second Report, Edinburgh.